

## Technical Note

## یادداشت فنی

### Applications of MARS Regression for Estimating Bed Loads Case study: Basins of Khorasan Razavi Province, Iran

H. Rezaee-Pazhand<sup>1\*</sup> and M. Janfada<sup>2</sup>

#### Abstract

The conventional methods for estimating the suspended load in rivers are using the sample of debit-sediment and fit them into exponential patterns, power model, neural networks, or frequency distribution table. In high flood flows these models cannot be extrapolated and their estimations are unrealistic. This is due to the bounded water power to carry suspended load (physical properties). Multivariate Adaptive Regression Spline (MARS) model are proposed in this paper to pass this limitation. MARS is a piecewise linear spline model that has better performance in extrapolations. The MARS exponential and power models were fitted on debit-sediment data of 23 stations khorasan razavi province in this article. The results were compared in two modes of interpolation and extrapolation and base on statistical and physical criteria. Statistical criteria models included the  $R^2_{adj}$ , sum of squares error (SSE), generalized cross validation (GCV), and diagnostic residual. The physical criteria included realistic estimation of the sediment in two modes of interpolation and extrapolation. The results showed the superiority of MARS model to other practices.

### کاربرد رگرسیون مارس در برآورد بارمعلق مطالعه موردی: حوضه‌های آبریز خراسان رضوی

حجت رضائی پژند<sup>۱\*</sup> و مجید جانفدا<sup>۲</sup>

#### چکیده

رسوب (بارمعلق وکف) مواد جامدی است که توسط آبرودخانه جابه‌جا می‌شود. روش مرسوم تخمین بارمعلق، استفاده از نمونه دبی - رسوب و برآذش الگوهای نمائی، توانی، شبکه عصبی یا تنظیم جدول توزیع فراوانی است. این الگوها در بروندیابی دبی‌های سیلابی خوب عمل نکرده و برآوردهای غیرواقعی می‌دهند. زیرا توان حمل بارمعلق توسط آبرودخانه کراندار است (خاصیت فیزیکی). الگوی رگرسیونی کمانک تطبیقی چند متغیره (مارس) برای حل این مشکل در این مقاله پیشنهاد می‌شود. مارس یک الگوی تکه‌ای خطی کمانکی است که در بروندیابی عملکرد بهتری دارد. الگوهای مارس، نمائی و توانی در این مقاله بر آمار دبی - رسوب ۲۳ ایستگاه استان خراسان رضوی برآذش داده شد. نتایج در دو حالت درون‌دیابی و بروندیابی و با معیارهای آماری و فیزیکی مقایسه شدند. معیارهای آماری الگو شامل: ضریب تعیین پیراسته ( $R^2_{adj}$ ), مجموع مربعات خطاطا (SSE)، اعتبار متقابل تعمیم‌یافته (GCV)، آسیب‌شناسی خطاهای و معیار فیزیکی شامل: منطقی بودن برآورد رسوب در دو حالت درون‌دیابی و بروندیابی است. نتایج بررسی‌ها نشان از برتری الگوی مارس (به ویژه در بروندیابی) نسبت به دو الگوی دیگر دارد.

**کلمات کلیدی:** الگوی مارس، الگوی توانی، الگوی نمائی، بروندیابی، معیار آماری، معیار فیزیکی.

تاریخ دریافت مقاله: ۷ مرداد ۱۳۹۱

تاریخ پذیرش مقاله: ۲ اسفند ۱۳۹۱

**Keywords:** MARS model, Power model, Exponential model, Extrapolation, Statistical criteria, Physical criteria.

Received: July 28, 2012

Accepted: February 20, 2013

1- M.Sc. in Hydrology, Azad Islamic University, Mashhad, Iran. Email: hrpazhand@yahoo.com

2- M.Sc. in Statistics, Shahrood University of Technology, Shahrood, Iran.

\*- Corresponding Author

۱- کارشناس ارشد هیدرولوژی، دانشگاه آزاد اسلامی، واحد مشهد، ایران.

۲- کارشناس ارشد آمار، دانشگاه صنعتی شهرورد، شهرورد، ایران.

\*- نویسنده مسئول

درون‌یابی و برونویابی است.

## ۲- مواد و روش‌ها

### ۲-۱- منطقه مورد مطالعه و داده‌ها

منطقه مورد مطالعه رسوب ۳۰ حوضه آبریز استان خراسان رضوی است. این استان در شمال شرق ایران به مساحت ۱۲۸,۴۲۰ کیلومتر مربع و محدود به طول و عرض جغرافیایی ۷۷° تا ۶۱° ۱۵' و ۲۴° ۳۰' تا ۳۰° ۱۷' درجه است. داده‌ها بارمعلق این ایستگاه‌ها است. غربال داده‌ها نشان داد که تنها ۲۳ ایستگاه آمار رسوب مناسب داردند (آرشیو شرکت آب منطقه‌ای خراسان رضوی، ۱۳۸۹).

### ۲-۲- رگرسیون کمانکی تطبیقی چندمتغیره MARS

(Friedman 1991) الگوی کمانکی تطبیقی چندمتغیره رگرسیونی (mars) را معرفی کرد که تعمیمی از رگرسیون خطی گام‌به‌گام یا شکل اصلاح شده درخت رگرسیون است (Hastie et al., 2009). برای این ریاضی مارس مطابق زیر است. مارس یک متغیره مقادیر متغیرپاسخ (Y) را با الگویی خاص بنام توابع پایه (تابع آینه‌ای یا چوب‌هایکی) از روی متغیر پیشگوی X برآورد می‌کند (رابطه ۱).

$$h_1(x) = (x-t)_+ = \begin{cases} x-t & x > t \\ 0 & x \leq t \end{cases} \quad (1)$$

$$h_2(x) = (t-x)_+ = \begin{cases} t-x & x < t \\ 0 & x \geq t \end{cases}$$

ثابت گره و نماد "+" به معنای بخش مثبت است. گره  $t$  در عملی از مشاهدات متغیر X است. دو تابع  $(x) h_1$  و  $(x) h_2$  هر یک به تنها یک تابع چوب‌هایکی و هر دو با هم زوج منعکس یافته در گره  $t$  هستند (شکل ۱).

مجموعه C (رابطه ۲) را تمامی زوج توابع منعکس یافته در نظر می‌گیریم که  $\{x_1, x_2, \dots, x_n\}$  مقادیر مشاهده‌ای X هستند.

$$C = \{(X - t)_+, (t - X)_+\} \quad \forall t \in \{x_1, x_2, \dots, x_n\} \quad (2)$$

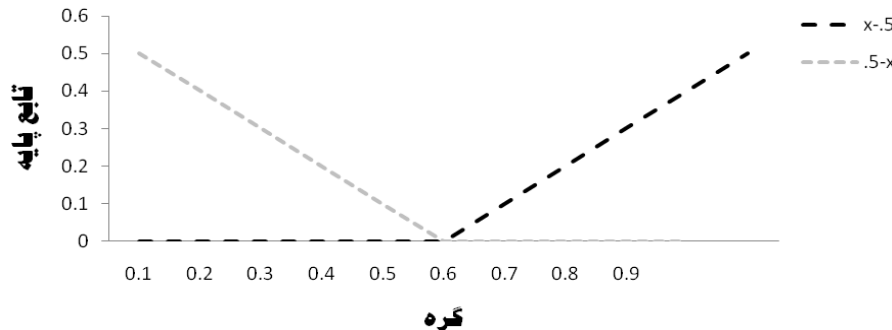
ساختمان‌کلی الگوی رگرسیون یک متغیره مارس برای برآورد Y مطابق رابطه (۳) است که  $h_i$  یکی از توابع مجموعه C است.

$$Y = f_{2m}(x) = b_0 + \sum_{i=1}^{2m} b_i h_i(X) \quad (3)$$

ضرائب  $\{b_0, b_1, \dots, b_{2m}\}$  با کمینه‌سازی مجموع مربعات خطای برآورد می‌شوند. مارس سه مرحله دارد. ۱) آرایش (ایجاد الگوی اولیه به روش پیش‌رو)، ۲) پیرایش (اصلاح الگوی اولیه) و ۳) گرینش

بارمعلق بخش مهم از رسوب است که توسط آبرودخانه جابه‌جا می‌شود. بارمعلق به دلیل اثرات منفی بر ظرفیت مخازن سدها، تعییر در مورفو‌لوزی رودخانه، تخریب خصوصیات فیزیکی و شیمیایی خاک و کاهش توان تولیدی اراضی کشاورزی اهمیت زیادی دارد (تلوری و همکارن، ۱۳۸۶). روش‌های مرسوم تخمین بارمعلق تحلیل نمونه‌های برداشتی با جدول توزیع فراوانی، منحنی توانی (منحنی سنجه)، برآش چشمی، شبکه عصبی، رگرسیون تکه‌ای است (آرشیو سازمان مدیریت منابع آب، ۱۳۸۹، Sarangi et al., 2005). بار معلق از دیدگاه مهندسی (فیزیکی) کراندار است. زیرا توان حمل آب محدود است و نمی‌تواند از یک حداقل و حدکثیر پیشی گیرد. شبکه منحنی رسوب در دبی‌های عادی کم و در سیلان‌ها زیاد و تقریباً از یک منحنی S شکل پیروی می‌کند. این رفتار از دیدگاه آماری نشان از وجود یک توزیع آمیخته است (Freedman, 2009, Weisberg, 2005). بنابراین باید الگوی برای این رفتار را تعیین کرد. نمونه‌ها اغلب از دبی‌های عادی و سیلان‌های کوچک برداشت و الگوهای رایج بر این نقاط برآش داده می‌شوند. سیلان‌های بزرگ نیز در حوضه رخ می‌دهد و نمونه رسوب آنها اغلب در اختیار نیست. آنها سهم مهمی در تخمین رسوب سالانه حوضه دارند. این سیلان‌ها از دیدگاه آماری به داده پرت معروف‌اند (Barnet and Lewis, 1994). بنابراین الگوی برآشی باید بارمعلق نقاط پرت را نیز به خوبی برونویابی کند. لذا عملکرد الگوی برآشی به دو حالت درون‌یابی (دامنه دبی‌های نمونه) و برونویابی (خارج داده‌های نمونه) تقسیم می‌شود. الگوهای نمایی، توانی و شبکه عصبی اغلب برآش خوبی بر داده‌های نمونه (درونویابی) دارند. اما عموماً در برونویابی خوب عمل نمی‌کنند. زیرا نیکویی برآش آن‌ها مربوط به دامنه داده‌های است (در درون‌یابی) نه در برونویابی (Sheather, 2009). برآورد بار معلق با شبکه عصبی نیز انجام و برتری آن بر روش منحنی سنجه تأیید شده است (آوریده و همکاران ۱۳۸۰ و ۱۳۸۵). می‌توان بار معلق را با منحنی‌های تکه‌ای فتاخی و همکاران (۱۳۸۵). می‌توان بار معلق دقت تخمین را افزایش دهد. نیز برآورد کرد. این برآورد می‌تواند دقت تخمین را افزایش دهد. روش تکه‌ای رفتار داده‌های رسوب را با توزیع‌های آمیخته الگوبندی می‌کند (Ryan et al., 2002). الگوی مارس نسخه پیشرفته روش تکه‌ای خطی است که از توابع آینه‌ای به نام چوب‌هایکی استفاده می‌کند (Friedman 1991, Hastie et al., 2009).

هدف و نوآوری این مقاله الگوبندی نمونه‌های بارمعلق (دبی-رسوب) ۲۳ حوضه‌های آبریز خراسان رضوی با الگوی کمانک تطبیقی چند متغیره (با نردنban تبدیل) و مقایسه آن با الگوهای نمایی و توانی در



شکل ۱- نمودار تابع پایه در نقطه  $t=+/\sqrt{5}$

مریبوط به نمونه‌های رسوب بسیار کمتر از دبی‌های سیلابی رخ داده در حوضه‌ها است. درون‌یابی دو الگوی نمایی و توانی دراغلب ایستگاه‌ها برآورد معمولی دارند (جدول ۱ و ۲). اما برآوردهای این دو الگو در برون‌یابی، اعداد بسیار بزرگ و غیرمنطقی است (جدول ۲). به‌گونه‌ای که حجم رسوب یک سیلاب در برون‌یابی اغلب حوضه‌ای فوق از حجم سیلاب بیشتر است. لذا این الگوها دراغلب ایستگاه‌ها به علت رفتار نامناسب فیزیکی رد شده‌اند. چون شرح تمام مراحل برای کلیه ایستگاه‌ها پر جم است. لذا ایستگاه دهنده‌شور به عنوان نمونه انتخاب و روال الگوبندی و مقایسه آن در ادامه ارائه شده است.

- **تحلیل الگوبندی ایستگاه دهنده شور:** نمونه‌های بارمعلق در بازه ۱۳۶۰ تا ۱۳۸۳ در اختیار است. قسمتی از این داده‌ها در جدول ۲ آمده است. الگوهای مارس با تبدیلات نردنی، نمایی و توانی بر داده‌ها برازش (جدول ۲) و نتایج آماری و فیزیکی آنها مطابق زیر است.

- **الگوی نمایی:** ضریب تعیین  $0.47$ ، مقدار احتمال<sup>۷</sup> الگو  $12 \times 10^{-9}$ ، رفتار باقیماندها مناسب، اما در درون‌یابی خوب عمل نمی‌کند (جدول ۲). برای مثال رسوب مشاهده‌ای و برآوردهای در دبی  $7/6$  متر مکعب بر ثانیه به ترتیب  $34423$  و  $321315$  است.

- **الگوی توانی (لگاریتمی):** ضریب تعیین  $0.76$ ، مقدار احتمال الگو  $16 \times 10^{-2}$  و رفتار باقیماندها مناسب، اما در برون‌یابی خوب عمل نمی‌کند (جدول ۲). مثلاً رسوب برآوردهای در دبی  $20$  متر مکعب بر ثانیه  $4000000$ ،  $3930000$  تن بر روز است.

- **الگوهای مارس:** الگوهای مختلف مارس با نردنی تبدیل بر داده‌ها برازش تا الگوهای بیشتری به دست آید. بازه مطلوب تبدیل  $[0, 1/5]$  است (جدول ۲). ملاحظات فیزیکی و آماری تبدیل  $y^{0.5}$  را ترجیح داد. الگوی نهایی یک گرهایی در نقطه  $1/27$  و ضریب تعیین اصلاح شده  $76$  است.  $R^2_{adj} = 0.76$ ،  $GCV = 1/5$  و  $RSS = 95/5$  است (جدول ۲).

(انتخاب الگوی بینه) تشکیل می‌شود (Friedman, 1991) الگوهای مختلفی در مراحل آرایش و پیرایش براساس توابع پایه بر داده‌ها برازش و SSE اندازه‌گیری می‌شود. الگوی نهایی در مرحله گزینش و با کمترین مقدار معیار اعتبار متقابل تعیین یافته<sup>۵</sup> ( $j=1,2,...,2n-2$ )  $GCV_j = (SSE_j \div (1 - \frac{vm_j}{n}))$  با  $SSE_j$  مجموع مربعات خطای الگوی  $j$ ،  $m_j$  تعداد توابع پایه در الگوی  $j$  و  $n$  حجم نمونه است.

### ۳-۲- تبدیلات رگرسیونی و نرم افزار

نردنی تبدیل روشی برای تبدیل متغیرها به منظور ثبت واریانس خطای و تقویت الگوهای رگرسیونی است. این تبدیل اغلب در بازه  $[2-2]$  انجام می‌شود (Weisberg, 2005, Sheather, 2009)، برنامه نویسی و بسته‌های نرم‌افزاری earth نرم‌افزار "R.2.11.1" و mda، plotrixplotmo، deaps و plotmo در تحلیل رگرسیون مارس استفاده شده است ([www.r-project.org](http://www.r-project.org)).

### ۳- تجزیه و تحلیل داده‌ها

داده‌های بار معلق ۲۳ ایستگاه آب‌سنگی حوضه آبریز استان خراسان رضوی پس از غربال انتخاب شدند (جدول ۱). الگوهای رگرسیونی توانی، نمایی و مارس (با نردنی تبدیل) بر داده‌های دبی - رسوب آن‌ها برازش داده شد. الگوی انتخابی از دو دیدگاه فیزیکی و آماری تحلیل شد. تحلیل آماری با معیارهای: ضریب تعیین تبدیل  $R^2_{adj}$ ، مجموع مربعات خطای (SSE)، اعتبار متقابل تعیین یافته (GCV) و آسیب‌شناسی خطاهای (پایای واریانس، شناسایی داده‌پرت و نرمال بودن خطاهای) انجام گرفت (جدول ۱). کراندار بودن توان حمل بارمعلق در آب رودخانه در دو حالت درون‌یابی و برون‌یابی معیار تحلیل فیزیکی است (جدول ۲). در جدول ۲  $y$ : رسوب،  $x$ : دبی،  $h$ : تابع آینه‌ای، RSS: مجموع مربعات باقی مانده‌ها است. آمار دبی روزانه حوضه‌ها نشان داد که دبی‌های

جدول ۱- مشخصات آماری الگوهای رگرسیون مارس ایستگاههای آب‌سنجدی استان خراسان رضوی

$R^2_{adj}$	RSS	GCV	تعداد گره	الگوی مارس انتخابی	ایستگاه
۰/۸۵	۲۶۸۸/۵	۸/۹	۱	$\log(y) = 3/681 + 0/053 \times h(x - 0/05)$	آق دریند
۰/۹۵۷	۱۶۶۰۱۵۸	۲۸۲۹۲	۲	$y^{0/7} = 165 + 546/7 \times h(x - 6/84) - 24/19 \times h(6/84 - x) - 255/33 \times h(x - 7/98)$	اندراب
۰/۸۷۸	۵۵۹۳۸/۴	۶۹۶/۸	۲	$y^{0/7} = 2/65 + 31/91 \times h(x - 0/555) - 54/95 \times h(x - 1/739)$	ارجنگان
۰/۸۰۴	۳۴۹۶۷۷۴	۲۵۶۸	۱	$y^{0/7} = 39/59 + 228/2 \times h(x - 1/987) - 19/04 \times h(1/987 - x)$	بردو
۰/۷۴۱	۶۶۰۵۲/۹	۴۰۷/۴	۱	$y^{0/5} = 28/17 + 21/015 \times h(x - 1/8) - 15/72 \times h(1/8 - x)$	چهچه
۰/۴۶۲	۲۵۳۸۴/۶	۴۰۲/۱	۱	$y^{0/7} = 3/79 + 34/6 \times h(x - 1/58)$	چشمۀ علی
۰/۷۶۲	۹۵/۵	۱/۵	۱	$y^{0/5} = 14/35 + 17/01 \times h(x - 1/27) - 9/44 \times h(1/27 - x)$	دهنه شور
۰/۹۵۱	۳۴۶/۸	۲۴/۰	۱	$y^{0/3} = 3/69 + 0/85 \times h(x - 0/005)$	دواپ
۰/۷۴۲	۶۷/۰	۱/۱	۲	$y^{0/3} = 3/6 + 9/03 \times h(x - 1/28) - 8/34 \times h(1/487 - x) - 1/78 \times h(1/487 - x)$	دولت آباد
۰/۹۶۵	۴۰۷۳۵/۱	۳۵۰/۶	۱	$y^{0/5} = 32/74 + 22/24 \times h(x - 3/32) - 10/1 \times h(3/32 - x)$	قره تیکان
۰/۸۱۹	۲۶۷۴۸/۸	۷۵۲/۳	۲	$y^{0/5} = 75/21 + 17/97 \times h(x - 1/71) - 18/31 \times h(3/55 - x)$	گلخندان
۰/۶۵۸	۱۷۶/۵	۳/۹	۲	$\log(y) = 2/35 - 11/77 \times h(0/322 - x) + 2/08 \times h(x - 0/753)$	گلمکان
۰/۸۲۶	۲۰۵۱۹۶	۶۹۹/۷	۴	$y^{0/5} = 7/33 + 17/15 \times h(x - 2/564) - 25/55 \times h(x - 6/239) + 58/56 \times h(x - 8/24) - 32/99 \times h(x - 9/807)$	حاتم قلعه
۰/۹۴۴	۹۷۵۹۱/۱	۱۰۰۴	۱	$y^{0/5} = 91/26 + 8/05 \times h(x - 5/29) - 6/88 \times h(5/29 - x)$	حسین آباد
۰/۷۳۹	۱۴۲۳۲/۶	۱۰۲/۲	۲	$y^{0/5} = 44/56 - 15/33 \times h(x - 2/18) + 45/63 \times h(x - 3/05) - 14/72 \times h(3/05 - x)$	کلاته رحمان
۰/۸۰۶	۱۵۴۶۹/۲	۸۴/۵	۱	$y^{0/5} = 9/31 + 32/86 \times h(x - 2/303) - 3/43 \times h(2/303 - x)$	محمد تقی بیگ
۰/۸۶۵	۸۸۳/۸	۵/۰	۲	$y^{0/5} = 14/14 - 2/38 \times h(x - 3/88) + 7/63 \times h(x - 8/392) - 1/56 \times h(8/392 - x)$	موشنگ
۰/۸۶۱	۲۵۰۱/۸	۲۳/۱	۱	$y^{0/5} = 269/48 + 6/04 \times h(x - 22/67) - 11/92 \times h(22/67 - x)$	النگ اسدی
۰/۸۴۹	۱۶۴۲۴/۲	۳۰۲/۰	۱	$y^{0/5} = 41/05 + 18/43 \times h(x - 0/72) - 60/92 \times h(0/72 - x)$	روح آباد
۰/۸۱	۱۶۶/۹	۱/۷	۱	$\log(y) = 11/29 + 0/012 \times h(x - 170) - 0/045 \times h(170 - x)$	سنگرد
۰/۶۶۴	۷۰۳۹/۱	۴۴/۵	۱	$y^{0/5} = 24/74 + 13/59 \times h(x - 5/29) - 4/47 \times h(5/29 - x)$	صنوبر
۰/۶۸۳	۵۵۵۲/۴	۷۶/۵	۲	$y^{0/5} = 22/5 - 32/74 \times h(x - 2/82) - 57/99 \times h(x - 3/44) - 9/19 \times h(3/44 - x)$	طاقون
۰/۹۶۱	۸۴۸۵/۱	۵۵۰	۱	$y^{0/5} = 3/33 + 23/58 \times h(x - 0/15)$	تروسک

نتایج نشان داد که هر سه الگو عملکرد مناسبی در درون‌یابی دارند. اما دو الگوی نمایی و توانی اعداد بسیار بزرگ و غیرمنطقی در برون‌یابی می‌دهند. به‌گونه‌ای که حجم رسوب یک سیلاپ اغلب حوضه‌های فوق در برون‌یابی از حجم آب سیلاپ بیشتر است. داده‌های ایستگاه دهنۀ شور برای نمونه در جدول ۲ آمده است.

۱). رسوب‌های برآورده با الگوهای مختلف مارس در حالات درون‌یابی و برون‌یابی در جدول ۲ مقایسه شده‌اند. مثلاً رسوب برآورده برای دیهای ۵۰۰ و ۱۰۰۰ بترتب  $711000 \times 10^5$  و  $7/22 \times 10^7$  تن در روز است. رفتار باقیماندها و الگوی ترسیمی در شکل ۲ آمده است.

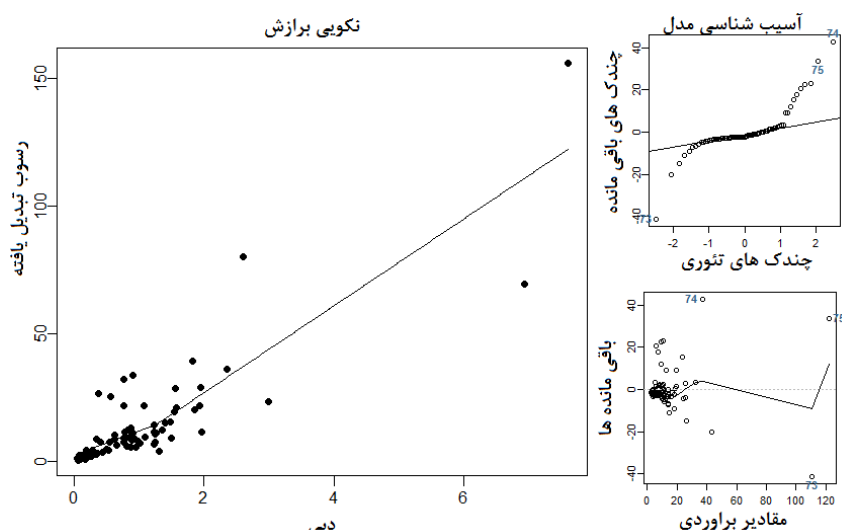
لذا دو الگوی فوق به علت رفتار نامعقول فیزیکی در برون‌یابی در تمام ایستگاهها رد شد. تحلیل بارمعلق ایستگاهها نشان داد که الگوی تکه‌ای مارس در مقایسه با الگوهای رایج در درون‌یابی و برون‌یابی بارمعلق عملکرد فیزیکی و آماری مناسبتری دارند. جدول ۲ برتری الگوی مارس را به عنوان نمونه در ایستگاه دهنۀ شور نشان می‌دهد.

#### ۴- نتیجه‌گیری

هدف این مقاله برآشش و مقایسه الگوی مارس (با نزدیکان تبدیل) با روش‌های مرسوم برآورد بارمعلق (الگوهای نمایی و توانی) است. این الگوها بر داده‌های رسوب ۲۳ ایستگاه آب‌سنجدی ایستگاههای استان خراسان رضوی برآشش داده شد. تحلیل بارمعلق ایستگاههای مختلف با دو معیار فیزیکی و آماری انجام شد.

**جدول ۲- درون یابی و برونو یابی بار معلق با استفاده از الگوهای نمایی، توانی و الگوی مارس تبدیل (نردنبانی) یافته ایستگاه دهنۀ شور**

رسوب برآورده (تن بر روز) با نردنان تبدیل رگرسیون مارس								رگرسیون توانی و نمایی		داده‌های مشاهده‌ای		
$y^{.15}$	$y^{.12}$	$y$	$y^{.7}$	$y^{.5}$	$y^{.2}$	$y^{.1}$	Log(y)	Exp(y)	Log(y)	رسوب ton/day	دبي (m³/s)	
-∞	-∞	10.5/21	111/93	7/82	.58	.68	.77	15/51	.35	1/33	.05	برون یابی
-∞	-∞	10.5/21	111/93	54/13	77/8	83/12	87/16	29/29	38/63	18/73	.053	
-∞	-∞	10.5/21	111/93	143/62	145/0.3	136/76	130/19	55/82	137/4	50/85	1/02	
4172/22	39.02/7	21.04/25	1214/0.9	10.7/23	586/39	471/92	346/8	321/71	693/61	1293	2/35	
16885/55	16167/92	15734/1	15316/32	14888/65	17.058/98	2.0747/6	2.8462/46	3.21315	6754/11	22223	7/6	
35681/96	41.72/9	47926/5	72230	1/11x10 <sup>5</sup>	7/99x10 <sup>5</sup>	5/40x10 <sup>5</sup>	7/30x10 <sup>5</sup>	44.97/6	3/92x10 <sup>12</sup>		20	
68.015/4	91914/1	1258119/3	2832-8/1	7/11x10 <sup>5</sup>	5/12x10 <sup>5</sup>	6/48x10 <sup>5</sup>	34x10 <sup>5</sup>	26.654/5	5/45x10 <sup>12</sup>		50	
10.9165/9	16600.1/7	255619/4	776662/1	2/87x10 <sup>5</sup>	1/41x10 <sup>5</sup>	299x10 <sup>5</sup>	2.04x10 <sup>5</sup>	99.9531	2/.4x10 <sup>12</sup>		100	
174236/8	197763/5	515235/5	21.09976	1/15x10 <sup>7</sup>	419x10 <sup>8</sup>	2x10 <sup>10</sup>	739x10 <sup>7</sup>	3832897	2/85x10 <sup>11</sup>		200	
228737/7	418384/8	774851/7	1777157	2/60x10 <sup>7</sup>	31x10 <sup>9</sup>	998x10 <sup>12</sup>	267x10 <sup>12</sup>	8412716	2/98x10 <sup>11</sup>		300	
321991/2	641530/6	12940.84	7855115	7/22x10 <sup>7</sup>	3/91x10 <sup>12</sup>	1/47x10 <sup>19</sup>	3/49x10 <sup>17</sup>	22655698	7/78x10 <sup>12</sup>		500	



شکل ۲- نمودارهای نکوبی برآذش و آسیب شناسی الگوی مارس انتخابی دهنۀ شور

### 5- مراجع

- لذا کاربرد رگرسیون مارس با نردنان تبدیل برای الگوی بندی بار معلق توصیه می‌شود.
- آرشیو سازمان مدیریت منابع آب وزارت نیرو، ۱۳۸۹.
  - آرشیو شرکت آب منطقه‌ای خراسان رضوی، ۱۳۸۹.

### پی‌نوشت‌ها

آوریده ف، بنی حبیب م، و طاهرشمی ا (۱۳۸۰) کاربرد شبکه‌های عصبی مصنوعی جهت تخمین دبی رسوب رودخانه‌ها. سومین کنفرانس هیدرولیک، دانشگاه تهران: ۲۷۵-۲۶۹.

تلوری ع، بیرون‌دیان ن، متوجه‌مری ا (۱۳۸۶) مدل‌سازی تعییرات زمانی رسوب مطالعه مورده حوزه آبریز گاران در کردستان. فصلنامه پژوهش و سازندگی در منابع طبیعی، شماره ۷۵: ۶۴-۷۰.

1- Mixtures distribution

2- Multivariate Adaptive Regression Spline

3-Regression Tree

4-Reflected Pair

5-Generalized Cross Validation

6-Sum of Square Error

7-Probability value

- prediction. Second Edition. Springer Series in Statistics: 736.
- Ryan SE, Porth L, Troendle CA (2002) Defining phase of bedload transport using piecewise regression. *Earth Surf. Process. Landforms*, 27: 971-999.
- Sarangi A, Bhatta Charya AK (2005) Comparison of artificial neural network and regression models for sediment loss predication from Banha watershed in India. *J. Agricultural Water Management*. 78:195-208.
- Sheather S J (2009) A modern approach to regression with R, Springer Texts in Statistics: 214.
- Weisberg S (2005) Applied linear regression, John Wiley & Sons.
- فتاحی م، طوسی س، ضیاء تبار احمدی م (۱۳۸۵) تخمین میزان رسوب رودخانه نکا به روش شبکه عصبی مصنوعی. هفتمین سمینار بین‌المللی مهندسی رودخانه، اهواز، دانشگاه شهید چمران، ۲۵۳-۲۶۱.
- Barnet V, Lewis T (1994) Outliers in statistical data. John Wiley & Sons.
- Freedman D A (2009) Statistical models: Theory and practice, Cambridge University Press:256p.
- Friedman JH (1991) Multivariate adaptive regression splines, *J. Annals of Statistics*, 19: 1-141.
- Hastie T, Tibshirani R, Freidman J (2009) The element of statistical learning data mining, inference, and